ИССЛЕДОВАНИЕ КУМУЛЯТИВНОГО ФОТОРОЖДЕНИЯ ПРОТОНОВ И л-МЕЗОНОВ

К. Ш. ЕГИЯН

Приводятся новые экспериментальные данные по кумулятивному фоторождению протонов и π -мезонов из ядер ^{12}C , ^{27}Al , ^{63}Cu , ^{118}Sn , ^{208}Pb , облучениых тормозными γ -квантами с энергией до 4,5 ГэВ. Обсуждаются энергетические, угловые и A-зависимости инвариантного сечения этих процессов, а также функции возбуждения кумулятивного фотообразования протонов. Спектры протонов из ядра ^{12}C сравниваются с предсказаниями двух теоретических моделей: модели малонуклонных корреляций (МНК) и кластерной модели. Полученные данные удовлетворительно объясняются кластерной моделью лишь в кумулятивной области ($\theta_p \geqslant 90^\circ$) и моделью МНК в приближении двухнуклонных корреляций в области характерных импульсов нуклонов в коррелированной паре $k \leqslant 1$ ГэВ/с.

I. Введение

Изучение процессов фрагментации ядер в элементарные частицы с кинематикой, запрещенной для столкновений со свободными нуклонами, привело к открытию кумулятивного эффекта [1, 2] и ядерного скейлинга [3, 4], исследованию которых в последнее время посвящается все большее число экспериментальных и теоретических работ. Поскольку указанные выше эффекты первоначально были наблюдены в основном в столкновениях адронов с ядрами, то для установления их универсальности необходимо было подробно исследовать кумулятивный эффект (КЭ) и ядерный скейлинг (ЯС) в процессах, вызванных электромагнитным излучением и слабо взаимодействующими частицами.

Первые систематические исследования [5, 6], проводимые в ЕрФИ с 1972 г., показали справедливость основных закономерностей КЭ и ЯС в процессах фотофрагментации ядер в протоны. В втих исследованиях импульсы кумулятивных протонов не превышали 0,8 ГвВ/с. Между тем для более однозначных сравнений с имеющимися теоретическими модельными представлениями, претендующими на объяснение сути КЭ и ЯС, необходимо расширить пределы импульсов регистрируемых протонов. Кроме того, КЭ и ЯС в процессах фотофрагментации ядер в л-мезоны до настоящего времени не исследованы вообще.

В предлагаемой работе представлены полученные в ЕрФИ новые экспериментальные данные по фотофрагментации ядер в протоны с импульсом до 1,25 ГъВ/с и первые результаты по фотофрагментации ядер в л-мезоны в области больших углов и энергий вторичных частиц.

Экспериментальные результаты получены на пучке Г-3 Ереванского влектронного синхротрона при помощи установки «Дейтрон», подробно описанной в [7, 8].

Протоны и л-мезоны идентифицировались двумя детекторами. В первом случае был использован пробежный детектор [7], позволяющий отождествлять частицы с кинетической энергией $T_p = 80 \div 300~{\rm MpB}$ для протонов и $T_{\star} = 45 \div 160 \text{ МъВ для } \pi$ -мезонов (без разделения по знаку заряда) под углом регистрации 20 ÷ 160°. Абсолютные энергетические разбросы и телесный угол составляли соответственно $\Delta T_p = 15 \div 6$ МэВ. $\Delta T_{\star} = 12 \div 8 \text{ MbB}$ и $\Delta \Omega = 10$ мстр. Во втором случае детектором служил магнитный спектрометр с применением методики измерения времени пролета, который позволил [8] идентифицировать частицы с кинетической энеогией 0,18 ÷ 1,2 ГвВ для л-мезонов и 0,3 ÷ 0,65 ГвВ для протонов под углом регистрации 20—120°. Относительные погрешности в измерении импульса и телесный угол спектрометра составляли соответственно $\Delta p/p = \pm 6.5\%$ (при $p \geqslant 1,0$ ГъВ/с) и $\Delta \Omega = 1,25$ мстр. Время пролета измерялось в интервале т = 15 ÷ 50 нс с относительными разбросами $\Delta \tau / \tau \leq \pm 5\%$.

На рис. 1a приведены массовые спектры, полученные при помощи пробежного детектора, которые показывают, что л-мезоны и протоны разделяются со 100% вффективностью. На рис. 16 приведены такие же спектры, полученные спектрометром при положительной полярности магнитного по-

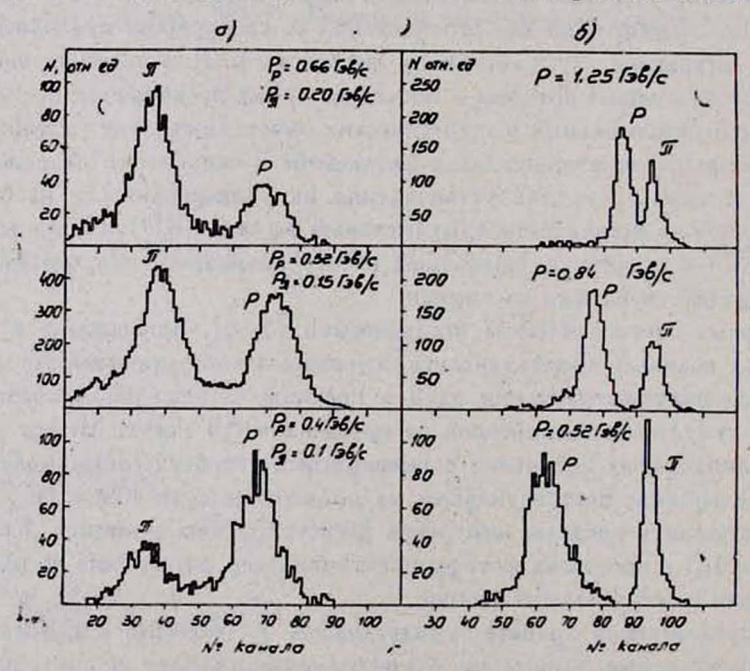


Рис. 1. Массовые спектры: a — получены пробежным детектором для заряженных частиц; b — получены магнитным спектрометром для положительно заряженных частиц.

ля. Как нетрудно видеть, пики от π^+ -мезонов и протонов (на рис. 16 пики от π^+ -мезонов расположены справа) надежно разделяются до значения импульса 1,25 ГэВ/с. Пики от протонов по мере уменьшения импульса расширяются из-за многократных рассеяний и энергетических потерь в сцинимах диспользуемых в спектрометре. Аналогичные спектры для отрицательной полярности магнитного поля показывают наличие только пиков в точности в тех местах, где расположены пики от π^+ -мезонов.

Таким образом, весь комплекс установки «Дейтрон» позволяет идентифицировать заряженные частицы в области энергий $T_{\rm x}$ =0,045÷1,2 ГэВ для п-мезонов и $T_{\rm p}$ =0,08÷0,65 ГэВ для протонов.

Были исследованы реакции

$$\gamma + A \to p(\pi) + X,\tag{1}$$

где X — остаточная система. В качестве твердых мишеней использовались ядра ^{12}C , ^{27}Al , ^{63}Cu , ^{118}Sn и 208 Pb.

Выходы реакций (1) измерялись одновременно для π^{\pm} -мезонов и протонов в случае использования пробежного детектора и π^{+} -мезонов и протонов в случае использования магнитного спектрометра. В последнем случае измерение выхода π^{-} -мезонов осуществлялось путем изменения полярности магнитного поля. По измеренным выходам составлялись инвариантные сечения:

$$f \equiv E \frac{d^{3a}}{dp^{3}} = C \frac{E}{p^{2}} \frac{N}{2 \Delta \Omega \left(\Delta p/p\right) p N_{s} N_{T}}, \qquad (2)$$

где N — измеренный выход, E, p и $\Delta p/p$ — полная энергия, импульс и импульсный разброс измерения, $\Delta \Omega$ — телесный угол регистрации, $N_{\rm g}$ и $N_{\rm g}$ — число ядер- на пути пучка и число эквивалентных у-квантов, которое определяется путем измерения мощности пучка при помощи квантометра гауссовского типа. Коэффициент C в (2) учитывает поправки, обусловленные ядерным поглощением и многократным рассеянием в веществе детектора и мишени, параобразованием в мишени, распадом на лету (в случае π^{\pm} -мезонов) и конечной эффективностью регистрации частиц. Инвариантное сечение (2) было получено в зависимости от энергии вторичных частиц, от угла регистрации, от массового числа ядер мишени и от энергии первичных у-квантов.

III. Экспериментальные результаты и их обсуждение

1. Энергетические и угловые спектры

Протоны. На рис. 2 приведены внергетические спектры протонов из ядер ^{12}C при различных углах и при $(E)_{\max} = 4,5$ ГвВ. Темными значказначками — данные, полученные магнитным спектрометром [10]. Необходимо отметить, что несмотря на то, что две серии данных получены различми обозначены данные [9], полученные пробежным детектором, светлыми ной методикой и в разное время (фактически в двух самостоятельных экс-

периментах), тем не менее на рис. 2 никаких нормировок для «сшивания» данных не было сделано. Наблюдаемое согласие между двумя сериями измерений свидетельствует о малых систематических ошибках в наших измерениях.

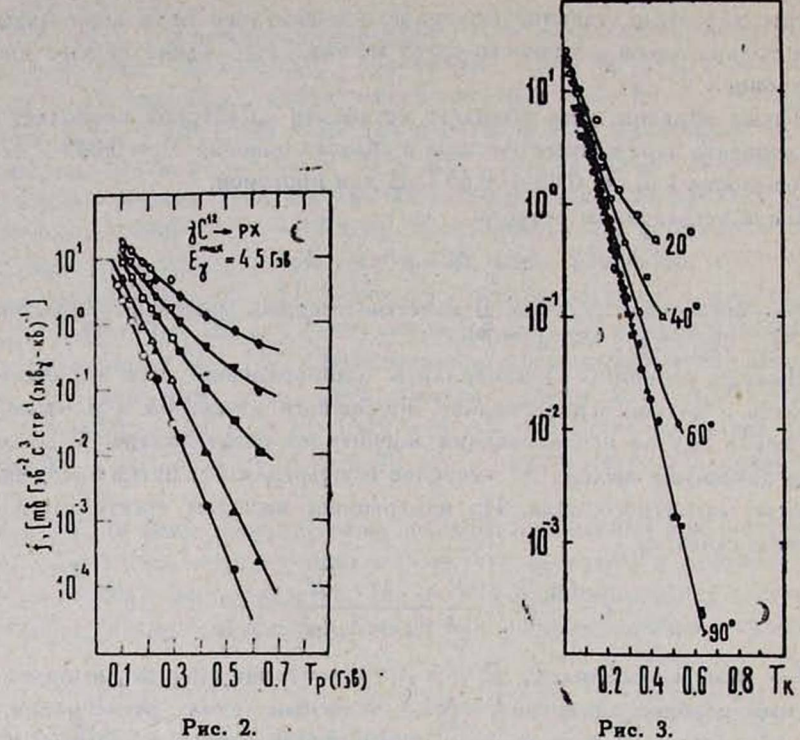


Рис. 2. Энергетические спектры протонов в реакции $\gamma C \to \rho X$ при $(E_{\gamma})_{\rm max}=4.5$ ГэВ. Экспериментальные точки: \bullet и $\bigcirc -20^{\circ}$, \blacktriangle и $\triangle -40^{\circ}$, \blacksquare и $\square -60^{\circ}$, \blacktriangledown и $\bigcirc -90^{\circ}$, \spadesuit и $\Diamond -120^{\circ}$; затемненные значки—из работы [9]. Кривые в случае $\theta_{\rho}=90^{\circ}$ и 120° построены методом наименьших квадратов, в случае $\theta_{\rho}=60^{\circ}$, 40° , $20^{\circ}-$ "на глаз".

Рис. 3. Зависимость $F(T_k)$ от T_k (см. соотношение (5)). Экспериментальные точки: $\bigcirc -$ для угла регистрации протонов 20° , $\triangle - 30^\circ$, $\square - 40^\circ$, $\nabla - 50^\circ$, $\Diamond - 60^\circ$, $\bigcirc -70^\circ$, $\triangle - 80^\circ$, $\square - 90^\circ$, $\bigvee -100^\circ$, $\diamondsuit - 110^\circ$, полутемные значки: $\bigcirc -120^\circ$, $\triangle - 130^\circ$, $\square - 140^\circ$, $\nabla - 150^\circ$, $\Diamond - 160^\circ$ при v = 0.18 и $T_0 = 52.5$ МэВ [12]. Сплошными линиями экспериментальные точки соединены "на глаз".

Согласно данным рис. 2, для фиксированного угла регистрации спектры кумулятивных протонов (в данном случае для $\vartheta_p \geqslant 90^\circ$) можно описать одной экспонентой

$$f_{\rho} = C_{\rho} \exp\left(-T_{\rho}/T_{o\rho}\right), \tag{3}$$

где C_p и T_{op} — постоянные. Величина T_{op} зависит от угла ϑ_p и достигает значения $T_{op}=45\div 50$ МэВ при $\vartheta_p\geqslant 120^\circ$, что хорошо согласуется с результатами, полученными ранее в $[1\div 6]$. Для углов $\vartheta_p<60^\circ$ ранее была установлена справедливость представления (3), но для области импульсов $\rho_p\leqslant 0.8$ ГэВ/с $(T_p\leqslant 0.3$ ГэВ). Новые данные (рис. 2) пока-

зывают, что для этой области углов (в основном это — некумулятивная область) спектры протонов нельзя представить одной экспонентой: для больших энергий спектры выполаживаются.

Ниже приводится сравнение наших экспериментальных данных с предсказаниями двух теоретических моделей.

В работе [11] было показано, что кластерная модель [12] очень хорошо описывает полученные нами [9] угловые и энергетические спектры фотообразования протонов для $p_p \le 0.8$ ГэВ/с и $\vartheta_p = 20$ —160°.

Расчет спектров был проведен по формуле

$$f_p = \varphi_p(A) \exp\left[-\frac{E_p - v p_p \cos \theta_p}{T_{op} (1 - v^2)^{1/2}}\right],$$
 (4)

где v — критическая скорость, при которой происходит распад кластера [11], T_{op} — параметр экспоненты (фактически температура распадающейся системы). Если ввести переменную $T_k = E_p - v p_p \cos \vartheta_p$, то, согласно (4), величина

$$F_p = \frac{f}{\varphi_p(A)} = \exp(-T_k/T_{k_0})$$
 (5)

будет универсальной функцией от T_k .

На рис. 3 приведены данные рис. 2 в таком представлении. Значение критической скорости принято равным v=0.18 [11]. Если бы кластерная модель была справедлива для всех значений энергий и углов, то все точки должны были бы лежать на одной линии. Как видим, это имеет место лишь для кумулятивных протонов ($\Phi_p \ge 90^\circ$). В области малых углов и больших энергий отклонение экспериментальных значений сечения от предскаваний (5) составляет несколько порядков.

В работе [13] было показано, что модель малонуклонных корреляций (МНК) в приближении двухчастичных корреляций удовлетворительно объясняет угловые зависимости наших данных [9]. Расчеты были проведены согласно формуле [13]

$$f_{p} = \lambda Z \sigma_{l}^{\gamma N} |\psi(k)|^{2} (m_{N}^{2} + k^{2})^{1/2} \left[1 - \frac{E_{p} - p_{p} \cos \vartheta_{p}}{2 m_{N}} \right]^{-1}, \qquad (6)$$

где

$$k = m_N \left\{ \frac{m_N^2 - (E_p - p_p \cos \theta_p)^2 + p_p^2 \sin^2 \theta_p}{(E_p - p_p \cos \theta_p) \left[2 m_N (E_p - p_p \cos \theta_p) \right]} \right\}^{1/2}$$
 (7)

есть импульс нуклона в системе коррелированной пары нуклонов [13], p_p и E_p — импульс и полная энергия регистрируемого протона, $\psi(k)$ — волновая функция коррелированной пары, σ_i^N — полное адронное сечение поглощения у-квантов, λ — постоянная, характеризующая увеличение вероятности спаривания в ядерной материи по сравнению со свободным состоянием, т. е. дейтроном, Z — порядковый номер ядра мишени.

Из (6) следует, что величина

$$F(k) = |\psi(k)|^2 = \frac{f_p \left[1 - (E_p - p_p \cos \theta_p)/2 \, m_N\right]}{\lambda Z \sigma_1^{TN} \, (m_N^2 + k_N^2)^{1/2}} \tag{8}$$

является универсальной функцией переменной k.

На рис. 4 приведены значения F(k) в зависимости от k. Как легко видеть, универсальность функции F(k) наблюдается в области $k \le 1 \, \Gamma_{\vartheta} B/c$. При $k > 1 \, \Gamma_{\vartheta} B/c$, по-видимому, необходимо учесть вклады корреляций высших порядков, теоретические аспекты которых в настоящее время развиты в недостаточной степени.

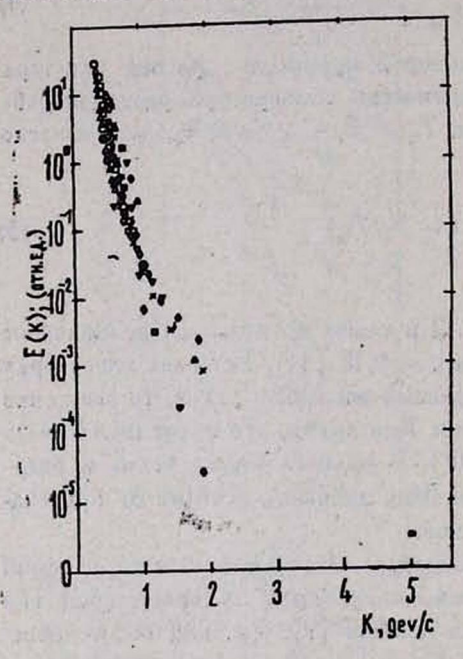


Рис. 4. Зависимость F(k) от k (см. соотношение (8)). Значки те же, что на рис. 2.

 π -Мезоны. На рис. 5a приведен а энергетическая зависимость инвариантного сечения (2) реакции (1) для π^+ -мезонов. Линии проведены через экспериментальные точки: в случаях $\vartheta_{\pi}=60^\circ$, 90° и 120° методом наименьших квадратов, в случаях $\vartheta_{\pi}=20^\circ$ и 40° — "на глаз". Стрелками показаны границы кумулятивной области. Как видим, для $\vartheta_{\pi} \geqslant 60^\circ$ и $T_{\pi} \leqslant 1,1$ ГэВ спектры хорошо описываются одной экспонентой. При $\vartheta_{\pi} \leqslant 40^\circ$ наблюдается отклонение от экспоненты (спектр падает сильнее при больших энергиях). На рис. 56 приведены аналогичные данные для π -мезонов. Наблюдается одинаковый характер поведения спектров отрицательно и положительно заряженных π -мезонов.

При $\theta_{\pi} > 60^{\circ}$ инвариантное сечение можно представить в виде

$$f_{\pi} = C_{\pi} \exp{\left(-T_{\pi}/T_{o\pi}\right)}, \tag{9}$$

где C_{π} и $T_{o\pi}$ — постоянные. В таблице приведены значения $T_{o\pi}$, найденные по экспериментальным точкам методом наименьших квадратов

для различных углов. Можно видеть, что с ростом угла $T_{\rm ox}$ уменьшается и уже при $\theta_{\rm x}=120^{\circ}$ достигает значения $T_{\rm ox}=65~{\rm MpB}$, что хо-

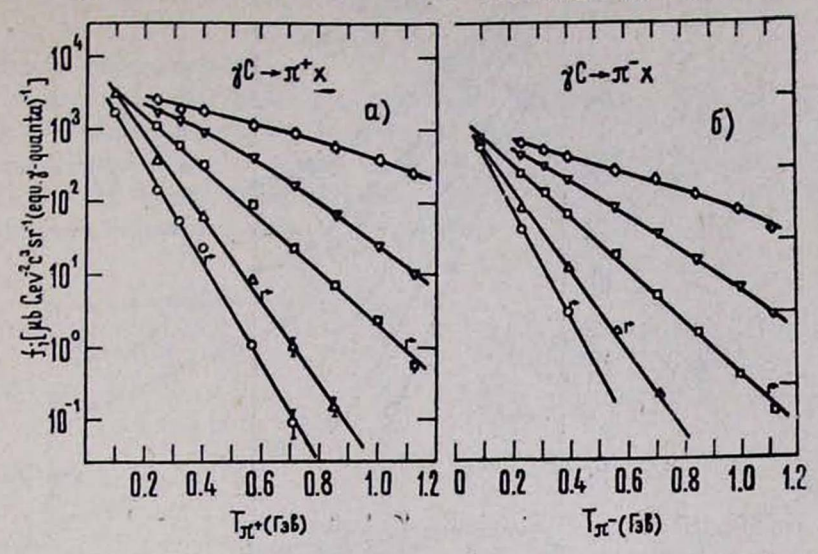


Рис. 5. Энергетические спектры: $\alpha - 4$ ля π^+ -мезонов, 6 - 4ля π^- -мезонов. Экспериментальные точки: \Diamond — угол π -мезонов $\vartheta_{\pi} = 20^{\circ}$, $\nabla - 40^{\circ}$, $\Box - 60^{\circ}$, $\triangle - 90^{\circ}$, $\bigcirc - 120^{\circ}$.

рошо согласуется со значением $T_{c\pi}=60 \div 65$ МвВ, найденным в аналогичных процессах, вызванных адронами [1, 2].

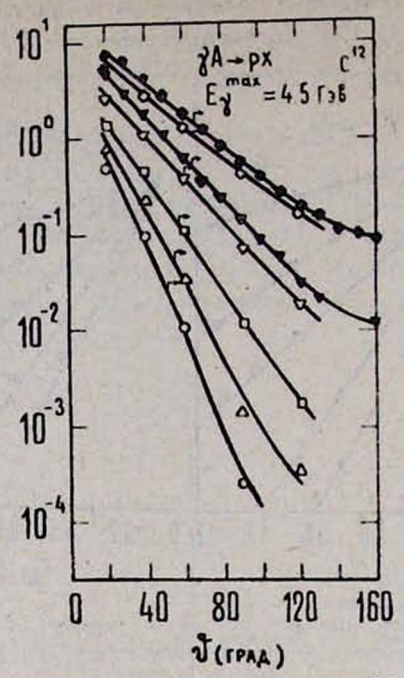
Таблиц Значения Ток ± \(\Delta Tok \) (МвВ)		
ϑ_{π}	π+-мезоны	π-мезоны
60°	124 ±2	121 <u>+</u> 2
90°	76,2±2,6	78,3±1,5
120°	65,1±3,1	57,1±1,8

Необходимо подчеркнуть одно важное обстоятельство: при переходе из некумулятивной области в кумулятивную характеры спектров не меняются. Такое же поведение наблюдается при фотообразовании протонов на ядрах (см. рис. 2).

На рис. 6 и 7 приведены соответственно угловые распределения инвариантного сечения (2) для протонов и π-мезонов.

2. А-вависимость

л-мезоны. Зависимость сечения от атомного числа ядер мишени (Азависимость) является одной из наиболее важных характеристик процесса фрагментации ядер в элементарные частицы.



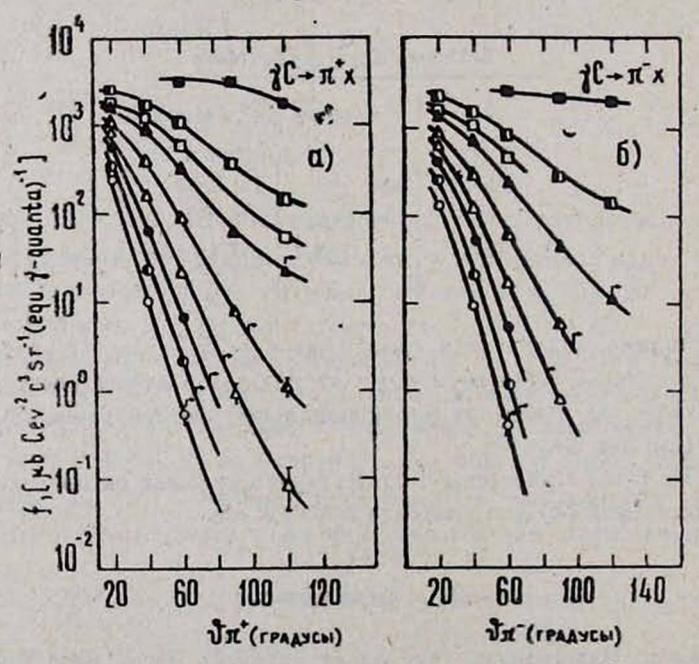


Рис. 7. Угловая зависимость инвариантного сечения f реакции (1) для π -мезонов: α — для π^+ -мезонов, δ — для π^- -мезонов. Экспериментальные точки: \blacksquare — при инистической энергии π -мезонов $T_\pi = 0,094$ ГэВ, \Box — 0,318 ГэВ, \triangle — 0,399 ГэВ, Δ — 0,712 ГэВ, \bigcirc — 0,851 ГэВ, \bigcirc — 1,12 ГэВ; полутемные значки: \Box —0,239 ГэВ, \triangle — 0,567 ГэВ, \bigcirc — 1,00 ГэВ.

$$f = BA^n, \tag{10}$$

где В и п — постоянные.

На рис. 8 в качестве примера приведены некоторые данные по A-зависимости выхода π -мезонов в реакции (1). Кривые на рис. 8 проведены через экспериментальные точки методом наименьших квадратов согласно формуле (10). Ниже будет проанализировано поведение показателя n_{π} в зависимости от энергии и угла регистрации π -мезонов.

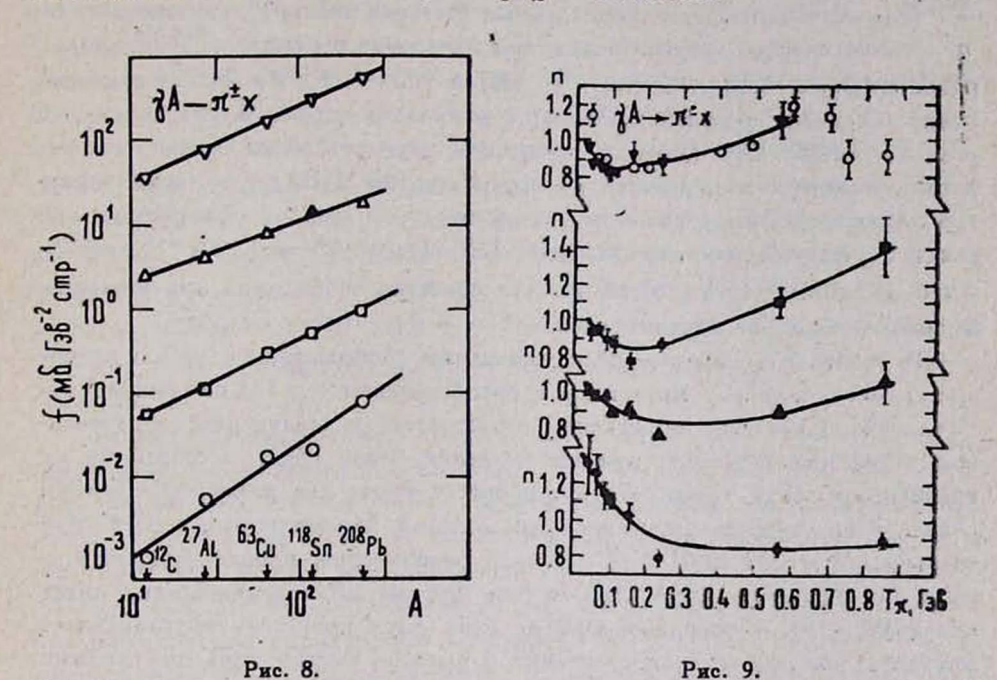


Рис. 8. Зависимость инвариантного сечения f реакции $\gamma A \to \pi X$ при $(E_{\gamma})_{\max} = 4,5$ ГэВ и угле регистрации $\vartheta = 90^{\circ}$ от массового числа ядер мишени A при разных значениях кинетической энергии π -мезонов T_{κ} : $\bigcirc -851$ МэВ, $\square -356$ МэВ, $\Delta -283$ МэВ, $\nabla -67$ МэВ.

Рис. 9. Зависимость показателя n от кинетической энергии π -мезонов при различных углах регистрации π -мезонов в реакции $\gamma A \to \pi X$: \bigcirc — угол регистрации $\theta_{\pi} = 30^{\circ}$, $\triangle - 60^{\circ}$, $\boxed{=} -90^{\circ}$, $\boxed{=} -120^{\circ} \div 160^{\circ}$, \bigcirc — в реакции $pA \to \pi X$, $\theta_{\pi} = 180^{\circ}$ [14].

Рассматривая подробно поведение $n_{\pi} = n_{\pi}(T_{\pi})$ для процесса рождения π -мезонов на ядрах под углом 180° протонами с энергией 8,6 ГвВ, авторы работы [14] впервые обнаружили сложную зависимость n_{π} от кинетической энергии вторичных частиц. Оказалось, что по мере возрастания энергии (начиная с энергии $T_{\pi} = 100 \text{ MbB}$) n_{π} сначала уменьшается, проходит через минимум (при $T_{\pi} \simeq 150 \text{ MbB}$), а затем возрастает и при больших энергиях (уже в кумулятивной области) снова становится

больший, $n_{\star} \geqslant 1$. Минимальное значение n_{\star}^{\min} (150) \simeq 0,8. Такое стравное поведение n_{\star} было подтверждено в эксперименте [15] с первичными π^- -мезонами с импульсом 4,4 $\Gamma_9 B/c$, но не для фиксированного угла $\vartheta_{\pi} = 180^\circ$, а для интервала $110^\circ \leqslant \vartheta_{\pi} \leqslant 150^\circ$. Таким образом, было по-казано наличие сложной энергетической зависимости показателя n_{π} в A-зависимости сечения летящих назад инклюзивных π -мезонов в процессах, вызванных адронами. Если это есть явление универсальное, то оно должно иметь место и в аналогичных реакциях, вызываемых электромагнитным излучением.

На рис. 9 приведены наши данные (темные значки) для зависимости $n_{\rm g}$ от кинетической энергии вторичных π -мезонов в реакции (1) при углах регистрации $30^{\circ}(\bullet)$, $60^{\circ}(\blacktriangle)$, $90^{\circ}(\blacksquare)$ и $120+160^{\circ}(\blacktriangledown)$. На том же рисунке (светлые кружки) приведены результаты работы [14] в случае угла $\theta_{\rm g}=180^{\circ}$. Как видим, в процессах фоторождения также наблюдается минимум в значениях $n_{\rm g}$ при $T_{\rm g} \simeq 150$ МэВ, хотя общий характер взаимодействия 7-квантов и адронов с ядрами в исследуемой области первичных энергий различен [15] (если $\sigma_{\rm g}^{\rm iN} \sim A$, то $\sigma_{\rm g}^{\rm iN} \sim A^{2/3}$). Авторы работ [14] и [15] не делали попыток объяснить причины указанного поведения показателя $n_{\rm g}$.

В работе [16] приведены качественные соображения с целью интерпретировать наличие минимума в распределении $n_z(T_z)$ по данным работы [14]. Суть этих объяснений заключается в следующем: образованные вторичные л-мезоны при прохождении через ядро рассеиваются на ядерных нуклочах. Сечение этого процесса имеет два резонанса. Первый связан с поглошением л-мезонов нуклонными парами и имеет место при энергии 120 ÷ 130 МэВ [17]. Второй ревонансный процесс общензвестный: пои внеогии ~ 190 МэВ полное сечение п - взаимодействия имеет максимум [18]. Суммарный эффект этих двух процессов обуславливает максимум полного сечения рассеяния п-мезонов внутри ядра при энергия около 150 МаВ. Увеличение сечения приводит к увеличению потерь частиц из данного углового и энергетического интервала. Поскольку рассеянные частицы, как правило, теряют энергию (а не приобретают ее), то происходит «перекачка» частиц из области энергии с резонансным сечением в область меньшей энергии с малым сечением. Такая «перекачка» тем сильнее, чем тяжелее ядро. В результате в области резонансного сечения показатель п _ имеет минимальное значение, а в области более низких энергий может заметно возрасти и стать больше единицы. Что касается области больших энергий, то исходя из того, что здесь $n_{\rm x} \lesssim 1$, авторы [16] делают вывод об уменьшении эффективного поглощения л-мезонов, иными словами, об уменьшении пN-сечения внутри ядра. Поскольку энергии п-мезонов еще малы для учета увеличения продольных расстояний в пN-взаимодействиях, этот вывод кажется не совсем обоснованным.

Несомненно, процесс поглощения регистрируемых частиц влияет на характер A-зависимости. Однако, как нам кажется, вряд ли им можно объяснить наблюдаемый на эксперименте характер A-зависимости. Этс особенно хорошо видно на примере фоторождения.

Если бы не было вторичных взаимодействий п-мезонов и других частиц с ядром-остатком, то сечение $z_{I}^{\gamma A \to \pi X}$ было бы пропорционально A, так как фотоны взаимодействуют со всеми отдельными нуклонами ядра. Рассеяние пионов на ядерных нуклонах должно приводить к уменьшению показателя n_s в A^{n_s} -зависимости. Следовательно, для полного сечения $\sigma_{1}^{A \to \pi X}$ фоторождения π -мезонов n должно быть меньше единицы. Действительно, в работе [19] нами была измерена А-зависимость полного (проинтегрированного по углу и энергии) сечения образования заряженных π -мезонов фотонами с энергией $(E_{\tau})_{\max} = 4.5 \, \Gamma$ в В и показано, что показатель n_{π} в этом случае не больше 0.84 ± 0.023 Очевидно, п= = 3,84 есть средаяя характеризтика продесса фоторож дения т-мезонов на ядрах и не исключает наличия локальных особен_ ностей в зависимости $n_\pi = n_\pi(T_\pi)$. Здесь мы только котим подчерк-нуть, что "включение" вторичного взаимодействия приводит к уменьшению этой средней характеристики от значения $n_{\pi} = 1$ до $n_{\pi} = 0.84$. Поэтому если при каком-то значении энергии благодаря резонансному увеличению сечения взаимодействия увеличивается поглощение т-мезонов, то это должно привести к уменьшению показателя n_π по сравнению со средним значением $n_z = 0.84$, что не наблюдается ни в адронных, ни в фотонных экспериментах, показывающих, что $n_{\pi}^{\min} \simeq n_{\pi}$ (см. рис. 9).

Таким образом, природа возникновения минимума связана не с дополнительными потерями π -мезонов при энергии $T_\pi \simeq 150$ МвВ, а, наоборот, по-видимому, есть следствие наличия дополнительных источников образования π -мезонов в области $T_\pi \leqslant 150$ МвВ и при значительно больших энергиях, усиливающих A-зависимость. Для того, чтобы подтвердить вгу гипотезу, рассмотрим приведенные на рис. 9 зависимости $n_\pi = n_\pi (T_\pi)$ для различных углов регистрации π -мезонов. Видно, что, во-первых, с уменьшением угла положение минимума на шкале энергии сдвигается в область больших энергий, а затем исчезает, и, во-вторых, рост n_π в области $T_\pi \leqslant 150$ МвВ усиливается в случае малых углов.

Данные для $\theta_{\pi}=30^{\circ}$ показывают, что в области $T_{\pi}\geqslant 200$ МэВ показатель n_{π} остается постоянным в интервале 0.8+0.85, т. е. близок
к значению $n_{\pi}=0.84$. И это естественно: при малых углах и больших
энергиях определяющим является процесс прямого фоторождения π -мезонов на ядерных нуклонах. Вторичные перерассеяния в ядре
уменьшают n_{π} от значения 1 до $0.8\div0.85$. С увеличением угла регистрации наблюдается рост n_{π} , так как начинает давать вклад новый
механизм — кумулятивное рождение π -мезонов, усиливающий A-зависимость. Что касается области кинетической энергии $T_{\pi}\leqslant 150$ МэВ,
то увеличение роста n_{π} для малых углов связано, по-видимому, с процессом рождения каскадных π -мезонов. Вероятность последних в области малых углов больше, так как высокоэнергичные 'вторичные частицы, являющиеся основным источником малоэнергичных каскадных

 π -мезонов, рождаются в основном вперед. Конечно, высокоэнергичные вторичные частицы имеются также и под большими углами, однако их количество несравненно мало (с увеличением угла регистрации спектры как π -мезонов, так и протонов становятся значительно круче). Вследствие этого усиление A-зависимости для больших углов и малых энергий вторичных π -мезонов относительно слабое. Что касается увеличения π_{π} , обусловленного механизмом резонансного поглощения [16] π -мезонов, то оп должен иметь место как для больших углов, так и для малых углов регистрации, так как в ядре для вторичных частиц нет выбранного направления. Иными словами, характер зависимости $n_{\pi} = n_{\pi}$ (T_{π}) в этом случае должен быть одинаковым для всех углов, что противоречит эксперименту.

На рис. 10 приведены угловые зависимости показателя n_{π} для различных внергий. Видно, что, действительно, для $T_{\pi} \lesssim 150$ МвВ n_{π} падает с ростом угла, в области $T_{\pi} \simeq 150 + 300$ МвВ $n_{\pi} \simeq 0.8 + 0.85$, а при больших внергиях n_{π} растет с θ_{π} и становится больше единицы

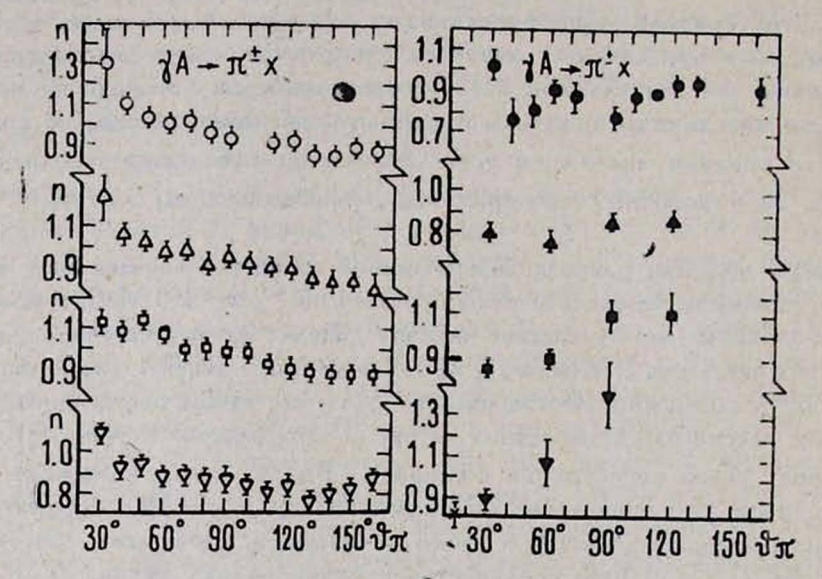


Рис. 10. Зависимость показателя n_{π}^2 от угла регистрации π -мезенов при разавичных кинетических энергиях π -мезенов в реакции $\gamma A \to \pi X$: \Box — кинетическая энергиях $T_{\pi} = 48$ МэВ, \triangle — 67 МэВ, \Box — 91 МэВ, ∇ —108 МэВ, \bigcirc — 155 МэВ, \triangle — 238 МэВ, \square — 356 МэВ, ∇ —851 МэВ, *—900 МэВ.

Последнее обстоятельство, как было отмечено выше, связано, по-видимому, с кумулятивным вффектом, физическую сущность которого в настоящее время нельзя считать окончательно ясной.

Протоны. А-зависимость для протонов в процессах фотообразования на ядрах исследована относительно лучше, чем для π -мезонов. Здесь мы приводим A-зависимости реакции $\gamma A \to p X$, полученные в тех же условиях, в которых были исследованы A-зависимости для фотописнов (см. выше).

На рис. 11 приведена зависимость показателя n_p в A-зависимости сечения фотообразования протонов в реакции (1) от энергии протонов. В об-

ласти $T_p = 60 \div 450$ МвВ никаких резких особенностей не наблюдается, как это имеет место и для π -мезонов (см. рис. 10). Наблюдается лишь слабая тенденция уменьшения n_p с ростом внергии в области малых углов (30°—60°) и, наоборот, такая же слабая тенденция роста n_p с ростом внергии в области больших углов (90°, 120°).

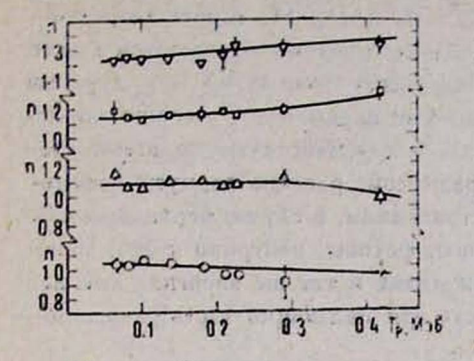


Рис. 11. То же, что на рис. 9, для прото нов: ○ — ∂_p = 30°, △ — 60°, □ — 90°, ▽ —120÷160°.

На рис. 12 приведены зависимости n_p от угла регистрации ϑ_p для различных энергий протонов. Во всем диапазоне энергий наблюдается рост n_p с увеличением угла. Для больших энергий этот рост сильнее, чем для малых энергий.

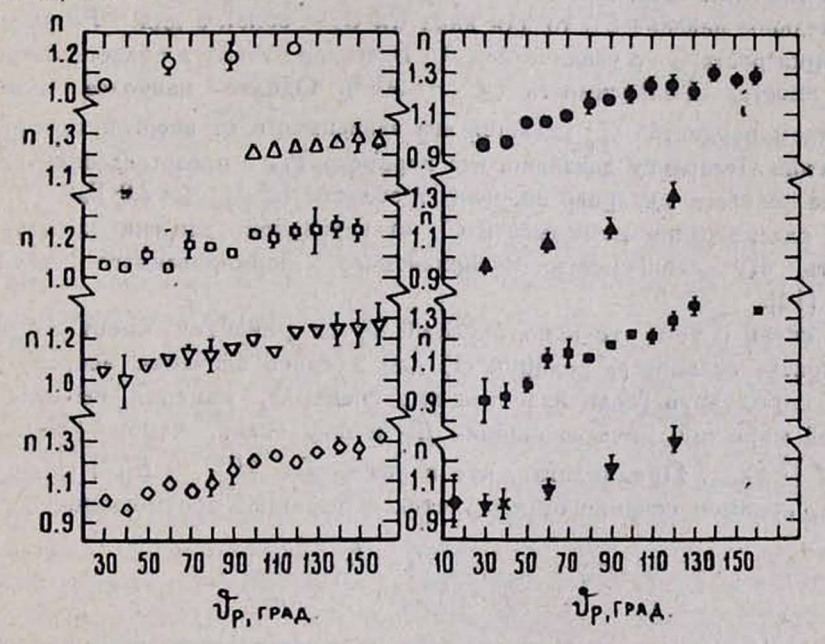


Рис. 12. То же, что на рис. 10, для протонов: $\bigcirc -T_p = 63$ МэВ, $\triangle -80$ МэВ, $\bigcirc -100$ МэВ, $\nabla -136$ МэВ, $\Diamond -180$ МэВ, $\bigcirc -208$ МэВ, $\triangle -226$ МэВ, $\bigcirc -290$ МэВ, $\bigcirc -420$ МэВ, $\times -1$ ГэВ.

3. Функция возбуждения фоторождения кумулятивных протонов на ядрах

В процессах кумулятивного образования протонов на ядрах первичными π-мезонами и протонами наблюдена [4] асимптотическая инвариантность параметра С рпредставления

433

$$\rho_p = \frac{f_p}{\sigma_1^{A}} = C_p \exp\left(-T_p/T_{op}\right) \tag{11}$$

относительно энергии подающих частиц. Если для легчайших ядер (например, для ^{12}C) эта инвариантность имеет место уже при $E_{\circ} \simeq 1,5$ ГэВ, то для тяжелых ядер (таких, как ^{208}Pb) та же инвариантность наблюдается при относительно больших энергиях ($E_{\circ} \simeq 4,5$ ГэВ). На основе теоретических моделей, согласно которым кумулятивные протоны образуются в акте взаимодействия подающей частицы с ядерными нуклонами или другими нуклонными образованиями, такое поведение параметра C_{\circ} можно объяснить, если учесть, что первичные адроны взаимодействуют со всеми указанными выше объектами в трубке с радиусом, равным раднусу взаимодействия адронов. Согласно этим представлениям, в случае первичных слабо взаимодействующих частиц (влектроны, фотоны, нейтрино и др.) инвариантность C_{\circ} должна наблюдаться при одних и тех же энергиях как для легких, так и для тяжелых ядер, так как эти падающие частицы взаимодействуют в ядре в основном один рав.

Исследования свойств параметра C_{ρ} в фотообразовании протонов на ядрах тормозными γ -квантами были проведены в работах [20, 21]. Одним из важных свойств является различие угловых зависимостей для легчайших и тяжелых ядер. Если, например, для ^{12}C с ростом угла наблюдается значительное падение C, то для ядра Cu $C_{\rho} = \text{const}$, а для ^{208}Pb имеется тенденция роста C с увеличением θ_{ρ} . Благодаря этому в области больших углов имеется A-зависимость ($C_{\rho} \sim A^{1/3}$). Однако наиболее важным свойством параметра C_{ρ} является его зависимость от энергии первичных γ -квантов. Поскольку доказано, что параметр T_{0p} в представлениях (2) и (11) не является функцией энергии в области (E_{γ}) $_{\max} \ge 2,0$ ГэВ [5], то вместо рассмотрения зависимость C_{ρ} от первичной энергии достаточно изучать эту зависимость инвариантного нормированного сечения ρ_{ρ} (E_{γ}) [14].

В связи с тем, что используемый пучок γ -квантов имеет тормозной спектр, сечение ρ_ρ реакции (1) для данного значения энергии E_{γ} можно определить (если известен вид спектра), измеряя выходы по крайней мере при двух значениях $E_{\gamma 1}$ и $E_{\gamma 2}$, таких, чтобы $(E_{\gamma 1})_{\max} < E_{\gamma} < (E_{\gamma 2})_{\max}$. Предполагая, что в интервале $(E_{\gamma 2}^{\max} - E_{\gamma 1}^{\max}) \rho_\rho$ не меняется, искомое сечение определяется с помощью соотношения

$$\rho_{p}(E_{\gamma}) = \frac{I_{1} - I_{2}}{\ln{(E_{\gamma 1})_{\max}} - \ln{(E_{\gamma 2})_{\max}}},$$
 (12)

где I_1 и I_2 — выходы реакции (1) соответственно при энергиях $(E_{\gamma 1})_{\max}$ и $(E_{\gamma 2})_{\max}$.

Этот метод определения $\rho_{\rho}(E_{\uparrow})$ называется методом вычитания-Имеется другой, более точный, но значительно более сложный метод определения $\rho_{\rho}(E_{\uparrow})$ по измеренным значениям I_{t} — так называемый «метод обратных матриц». В настоящей работе приводятся результаты, полученные методом вычитания, т. е. по формуле (12).

В процессе вычитания наиболее важным является вопрос ошибок и вклад низкоэнергетической части спектра γ -квантов. Для учета последнего рассмотрим разностный спектр γ -квантов с двумя близкими значениями (E_{γ})_{твх}. На рис. 13 приведены эти спектры для пяти разностей с ша-

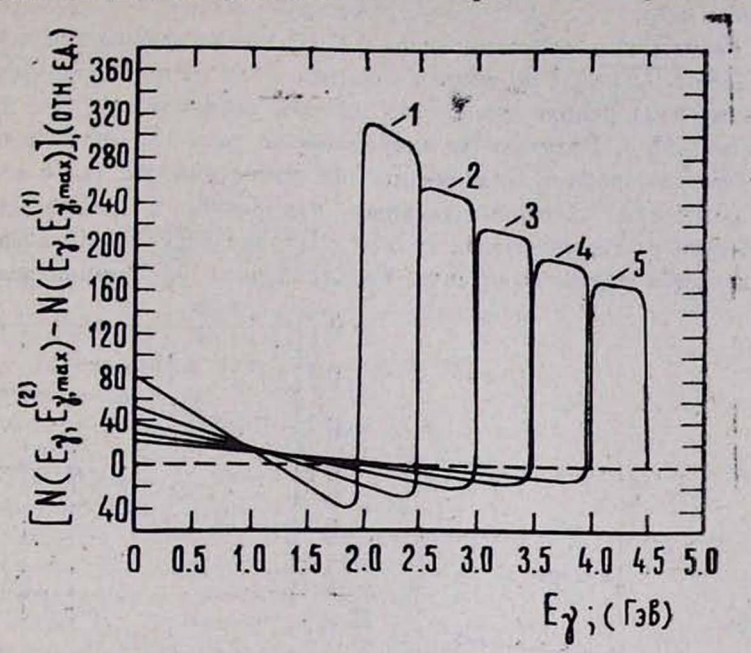


Рис. 13. Разностные спектры γ -квантов соответственно для значений $(E_{7},2)_{\rm max}$ и $(E_{7},1)_{\rm max}$: 1-(2,5 и 2,0) ГэВ, 2-(3,0 и 2,5) ГэВ, 3-(3,5 и 3,0) ГэВ, 4-(4,0 и 3,5) ГэВ, 5-(4,5 и 4,0) ГэВ.

гом 0,5 ГвВ. Как видим, в области малых E_{τ} разностный спектр показывает наличие конечного числа у-квантов. Но поскольку интегральное число этих малоэнергичных фотонов не превышает 5% пика в области (Ет) мах то, следуя [22], их вкладом будем пренебрегать. Что касается вопроса ошибок, то, во-первых, были приняты меры для максимального уменьшения статистических и систематических ошибок, которые доведены в настоящей серии измерений соответственно до $\pm (1 \div 2)\%$ и $\pm (1,5 \div 2)\%$, поэтому суммарные ошибки не превышали $\pm 3\%$, и, во-вторых, был применен известный метод сглаживания [23]. Для этого были построены зависимости (ненормированных) выходов $I = I(E_{\tau})_{\text{max}}$ инвариантных ядра и по полученным экспериментальным точкам были проведены методом наименьших квадратов наилучшие по критерию χ^2 кривые. При этом предполагалось, что в интервале между соседними значениями $(E_{\tau})_{\max}$ эта кривая не имеет особенностей. Результаты этих процедур приведены на рис. 15. Значками обозначены экспериментальные точки, кривые рассчитаны по формуле

$$I = \sum_{i=1}^{2} \alpha_{i} I_{i}, \tag{13}$$

$$= \sum_{i=1}^{2} \alpha_{i} I_{i}, \tag{13}$$

$$= \sum_{i=1}^{2} \alpha_{i} I_{i}, \tag{13}$$

$$= \sum_{i=1}^{2} \alpha_{i} I_{i}, \tag{13}$$

1272 - 2

SENT.

где коэффициенты a_t определяются по экспериментальным точкам. Как видим, для всех ядер удается по экспериментальным точкам провести плавно возрастающие по $(E_7)_{\rm max}$ кривые. Можно утверждать, что в первом приближении аномально большой рост выхода не наблюдается ни у одного из исследуемых ядер.

Для нахождения зависимости $\rho_{\rho} = \rho_{\rho} (E_{\gamma})$ были вычислены разности $I_2[(E_{\gamma 2})_{\max}] - I_1[(E_{\gamma 1})_{\max}]$ по кривым на рис. 14 (а не по эксперименталь ным точкам) и на основе данных по полным сечениям σ_1^{IA} [24] из (11) определены $\rho_{\rho}(E_{\gamma})$. Результаты приведены на рис. 15. Ошибки приведенных точек включают в себя вклады как статистических, так и систематических разбросов экспериментальных измерений, а также ошибки аппроксимации соответствующих кривых. Ширина «ступеньки» вокруг точек определяется шагом вычитания. Согласно рис. 15, нормированное се-

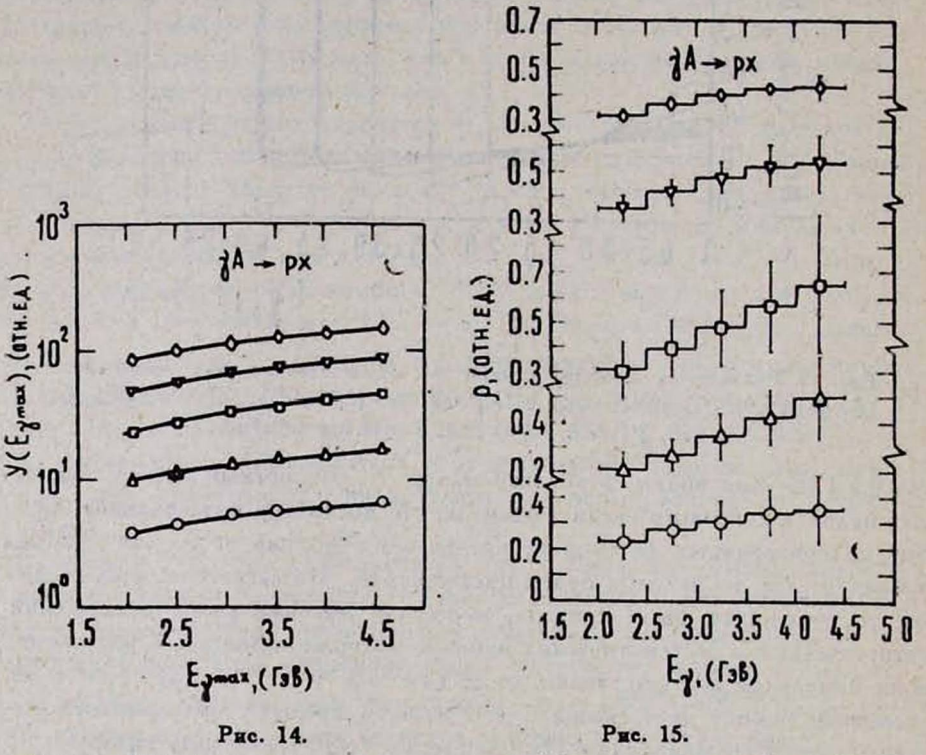


Рис. 14. Зависимость инвариантного сечения (2) от максимальной энергии (E_1) max тормозных γ -квантов: $\bigcirc -{}^{12}C$, $\triangle -{}^{27}AI$, $\square -{}^{63}Cu$, $\nabla -{}^{118}Sn$, $\Diamond -{}^{208}Pb$; кривые проведены согласно (13).

Рис. 15. Зависимость инвариантного нормированного сечения ρ (E_{γ}) от энергии γ -квантов (обозначения те же, что на рис. 14).

чение $\rho_p\left(E_{\gamma}\right)$ становится инвариантным по отношению к первичной энергии в области $3\div 4$ ГвВ для тяжелых ядер, что хорошо согласуется с данными по адронным процессам. Что касается легких и легчайших ядер, то наблюдается небольшой рост $\rho_p\left(E_{\gamma}\right)$ в исследуемой области $E_{\gamma}=2\div 4.5$ ГвВ, т. е. инвариантность ρ_p еще не достигнута. Очевидно, нужны новые измерения при больших первичных энергиях ($E_{\gamma}>4.5$ ГвВ).

Автор благодарит всех сотрудников лаборатории фотоядерных реакций ЕрФИ, совместно с которыми были получены и обработаны приведенные выше экспериментальные данные, А. Ц. Аматуни за постоянный интерес, Г. А. Вартапетяна и С. Г. Матиняна за поддержку, а также весь коллектив Ереваиского ускорителя за обеспечение пучком.

Ереванский физический институт

Поступила 8. І. 1981

ЛИТЕРАТУРА

- 1. А. М. Балдин. Препринт ОИЯИ, Р7-5769 (1971).
- 2. А. М. Балдин и др. ЯФ, 18, 79 (1973).
- 3. Ю. Д. Баюков и др. ЯФ, 18, 1246 (1973).
- 4. Г. А. Лексин. Труды Международной конференции по физике высоких энергий. Тбилиси, 1976, т. 1, А6-3 (1977).
- М. Дж. Амарян и др. НС ЕФИ-173 (19)—76, 1976.
- 6. К. В. Аланакян и др. ЯФ, 25, 545 (1977).
- 7. К. В. Аланакян и др. НС ЕФИ-155 (76), 1976.
- 8. К. В. Аланакян и др. НС ЕФИ-408 (15)-80, 1980.
- 9. К. В. Аланакян и др. НС ЕФИ-220 (12)-77, 1977; НС ЕФИ-386 (44)-79, 1979.
- 10. К. В. Аланакян и др. НС ЕФИ-467 (9)-1981.
- 11. И. Г. Богацкая и др. ЯФ, 27, 856 (1978).
- 12. М. И. Горенштейн и др. ЯФ, 26, 788 (1977).
- 13. М. И. Стрикман, Л. Л. Франкфурт. ЯФ, 29, 490 (1979).
- А. М. Балдин, В. С. Ставинский. Труды Международного семинара по физике высоких энергий, Дубна, 1978, стр. 261.
 - А. М. Балдин и др. Препринт ОИЯИ, 1-12 396 (1979).
- 15. Ю. Д. Баюков и др. Препринт ИТЭФ-30 (1979).
- М. И. Стрикман, Л. Л. Франкфурт. Материалы XIV зимней школы ЛИЯФ, 1979.
 стр. 82.
- 17. D. Ashery. Proc. of 8th Int. Conf. on High Energy Phys. and Nucl. Str., Vancover, 1979, Amsterdam, New York, Oxf., 1980, p. 385.
- В. С. Барашенков. Сечение взаимодействия элементарных частиц, Изд. Наука, М... 1966.
- 19. К. В. Аланакян и др. НС ЕФИ-153 (75), 1975.
- 20. К. В. Аланакян и др. НС ЕФИ-174 (20)-76, 1976.
- 21. К. В. Аланакян и др. ЯФ, 26, 1018 (1977).
- 22. A. M. Boyarsky et al. SLAC-PUB-1694 (1975).
- 23. О. В. Богданкевич, Ф. А. Николаев. Работы с пучком тормозного излучения, Атомиздат, 1964, стр. 183.
- 24. G. R. Brooks et al. Phys. Rev., D8, 2826 (1973).

ԿՈՒՄՈՒԼՅԱՏԻՎ ՊՐՈՏՈՆՆԵՐԻ ԵՎ _Պ–ՄԵԶՈՆՆԵՐԻ ՖՈՏՈԾՆՄԱՆ ՈՒՍՈՒՄՆԱՍԻՐՈՒԹՅՈՒՆԸ

Կ. Շ. ԵՂՑԱՆ

Բերված են մինչև 4,5 ԳէՎ էներգիայի արդելակային γ-քվանտներով ճառագայթված 12C, 27Al, 63Cu, 118Sn և 208Pb միջուկներից առաքվող կումուլյատիվ պրոտոնների և π-մեզոնների վերաբերյալ նոր էքսպերիմենտալ տվյալներ։ Քննարկվում է այդ պրոցեսնեքի ինվարիանտ կտրվածջների կախումը տեղի ունի միայն կոռնլացված զույգի մեջ նուկլոնների իմպուլսի է « 1 Գէվ с արժեջների դնաջում; ոն սիայում է հրական արտում է « 1 Գէվ с արժեջների դնաջում արտում և հրական եր հրական եր հրական և հրակ

INVESTIGATION OF CUMULATIVE PHOTOPRODUCTION OF PROTONS AND *-MESONS

K. Sh. EGIYAN

New experimental data on the cumulative photoproduction of protons and π -mesons from ^{12}C , ^{27}Al , ^{63}Cu , ^{118}Sn and ^{208}Pb nuclei irradiated with bremsstrahlung γ -quanta having energies up to 4.5 GeV are presented. The energy, angular and A-dependences of the invariant cross section of these processes as well as the excitation functions of cumulative photoproduction of the proton are discussed. The spectr of protons from ^{12}C are compared with the predictions of two theoretical models—the low-nucleon correlation model (LNC) and the cluster model. It was found that the obtained results are satisfactorily explained by the cluster model only in the cumulative region ($\theta_P > 90^\circ$) and by the LNC model in the two-nucleon correlation approximation in the region of characteristic nucleon momenta in the correlated pair k < 1 GeV/c.

dest. a